



# 核与粒子物理实验中的粒子探测器

刘建北

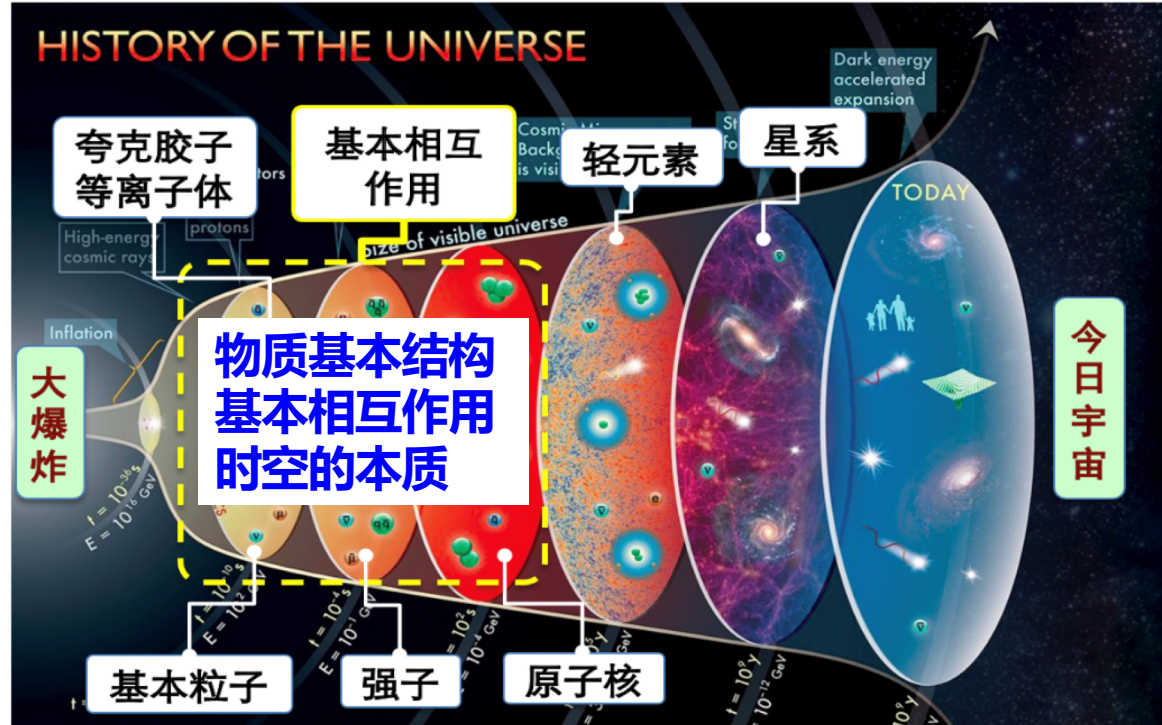
核探测与核电子学国家重点实验室  
中国科学技术大学

全国辐射探测技术与应用研讨会  
2022年8月7日

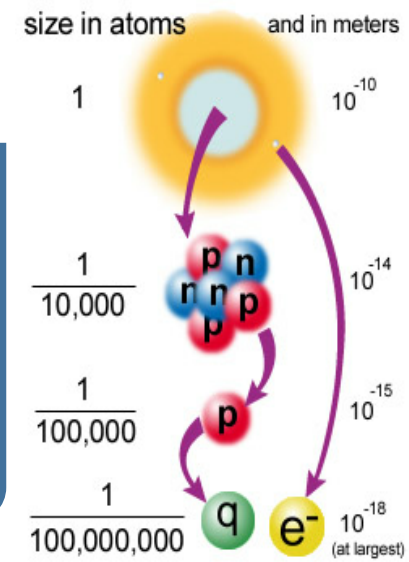
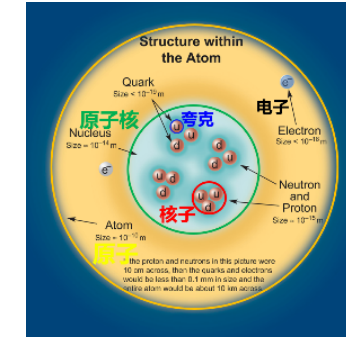


- 核与粒子物理
- 加速器实验对粒子探测的要求与挑战
- 粒子探测器技术的发展现状与趋势
- 总结

# 核与粒子物理



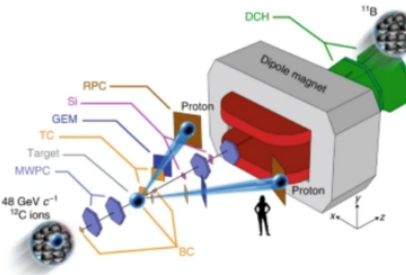
观测物质深层次结构需要高能量探针  
 $E$  ←  $\lambda = h/p$



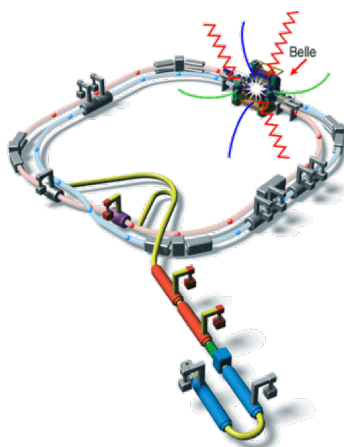


# 加速器—核与粒子物理实验的利器

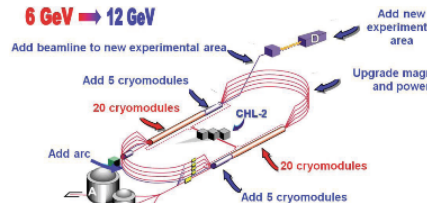
打靶



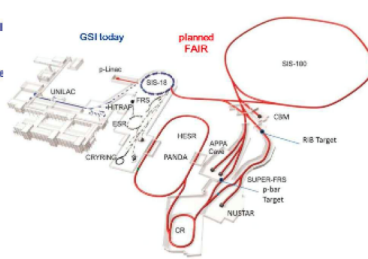
对撞



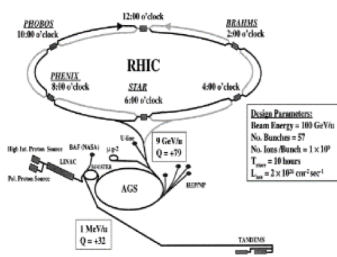
连续电子束加速装置



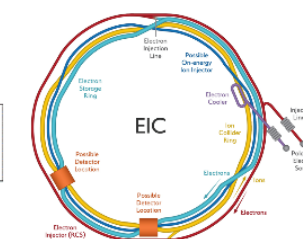
反质子和离子研究装置



相对论重离子对撞机



电子离子对撞机



加速器的能量和亮度不断提高

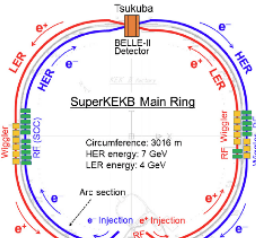
北京正负电子对撞机



超级陶粲装置



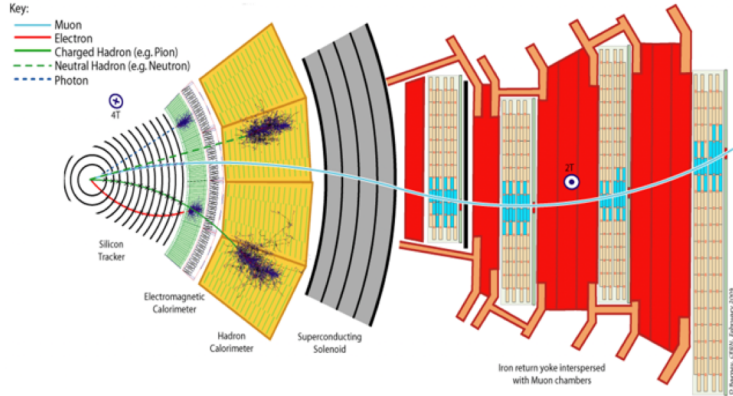
超级B工厂



直线对撞机



# 探测器 — 核与粒子物理实验中的眼睛

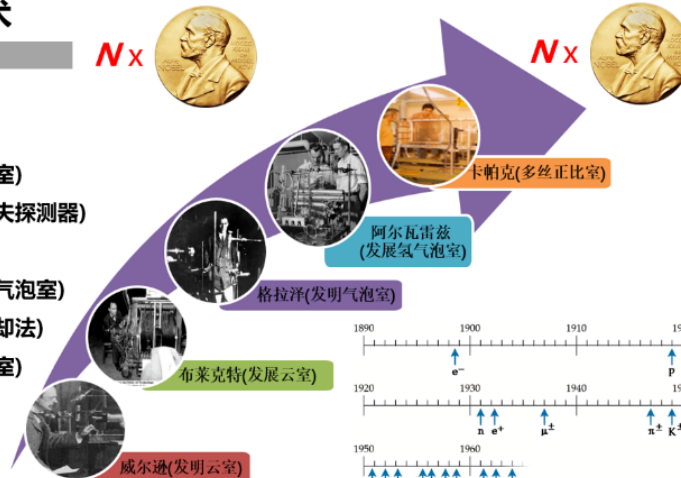


- ❖ 探测器用来探测粒子反应的末态产物，是进行核与粒子物理实验的核心工具。
  - 粒子测量：位置、时间、能量
  - 粒子鉴别：分辨粒子种类

- ❖ 核与粒子物理的需求引导和驱动着探测技术的发展，而探测技术的进步又极大促进了核与粒子物理的发展。

## 粒子探测技术

- 威尔逊(云室)
- 劳伦斯(加速器)
- 布莱克特(改进云室)
- 切伦科夫(切伦科夫探测器)
- 格拉泽(气泡室)
- 阿尔瓦雷兹(改进气泡室)
- 范德梅尔(随机冷却法)
- 卡帕克(多丝正比室)

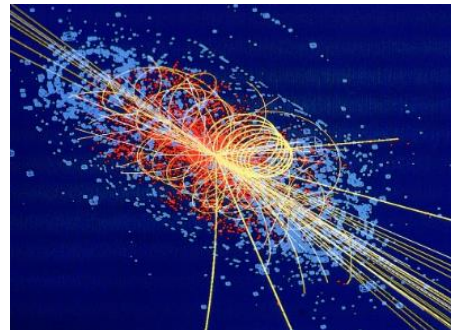


## 重大物理发现

- 伦琴(X射线)
- 贝克勒尔+居里夫妇(放射性)
- 查德威克(中子)
- 赫斯(宇宙线)
- 安德森(正电子)
- 鲍威尔( $\pi$ 介子+核乳胶照相法)
- 塞格雷+张伯伦(反质子)
- 里克特+丁肇中(重夸克)
- 鲁比亚(中间玻色子)
- 佩尔( $\tau$ 轻子)
- 莱因斯/莱德曼/施瓦茨等(中微子)
- 恩格勒/希格斯(希格斯粒子)

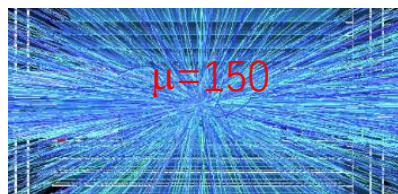
# 加速器实验对粒子探测的要求和挑战

◆ 加速器的能量和亮度不断提高，对粒子探测性能提出了苛刻要求，对粒子探测技术提出了严峻挑战。

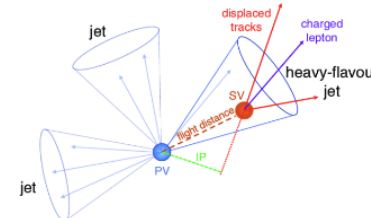


- **高亮度**: 抗辐照, 高计数, 抗堆积
- **高能量**: 高能动量测量, 大动态范围
- **高精度**: 高分辨, 全覆盖, 精密校准
- **大规模**: 大面积, 多通道, 高性价比

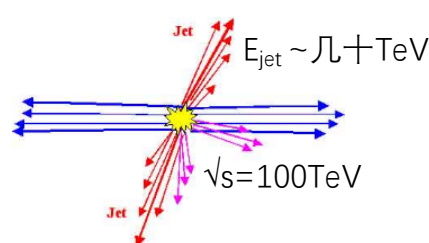
高亮度LHC上的堆积效应



顶点位置测量~几 $\mu\text{m}$



高能双喷注事例



量能器通道~ $10^8$



# 粒子探测技术发展现状和趋势

## ● 高能量前沿

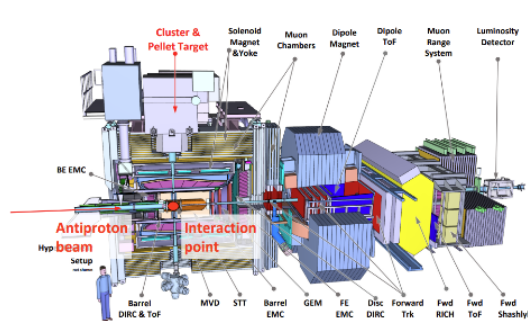
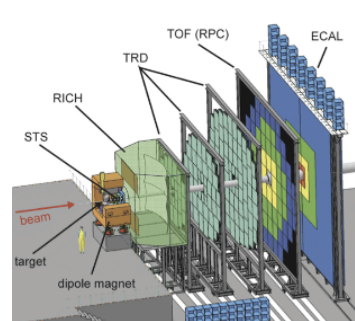
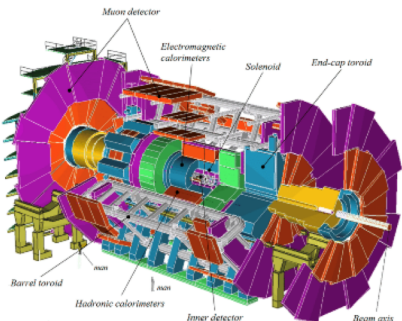
ATLAS, CMS, ILC-ILD/SiD, CLIC, FCC, CEPC ...

## ● 高精度前沿

BESIII, BELLE2, LHCb, Panda, SCTF, STCF ...

## ● 高能核物理前沿

STAR, ALICE, CBM, SPD, MPD, EIC-ECCE, EicC ...



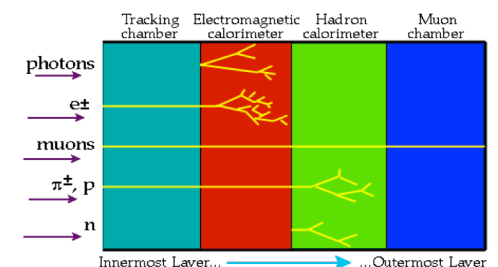
## ❖ 粒子测量

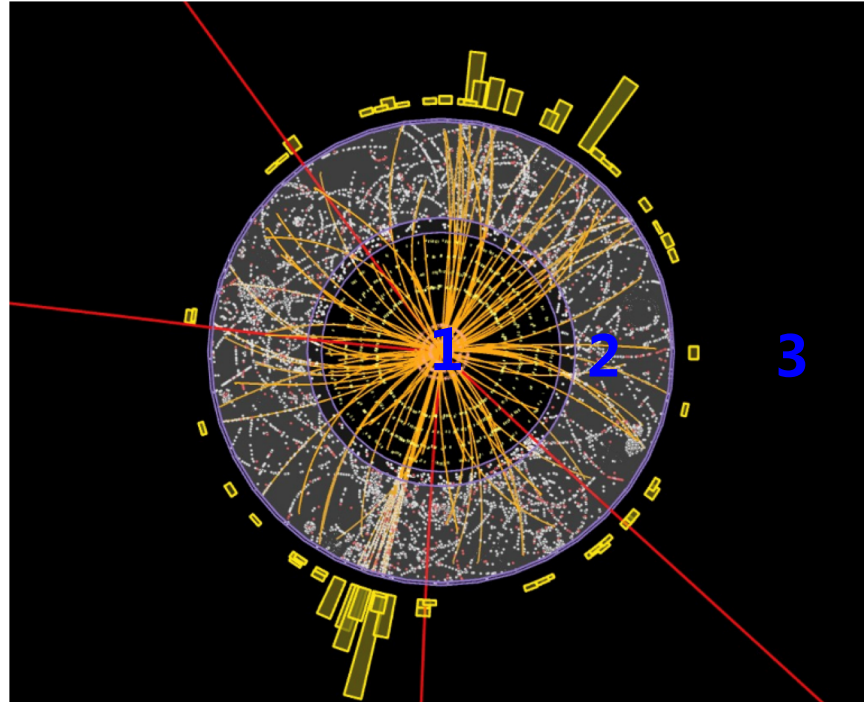
► 位置测量

► 时间测量

► 能量测量

## ❖ 粒子鉴别





## 1. 内部区域

高计数率，较小面积，顶点测量

## 2. 中心区域

中等计数率，大体积，动量测量

## 3. 外部区域

低计数率，极大面积，计数/径迹测量

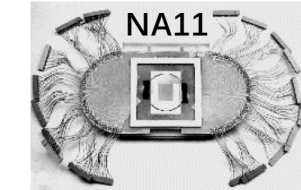
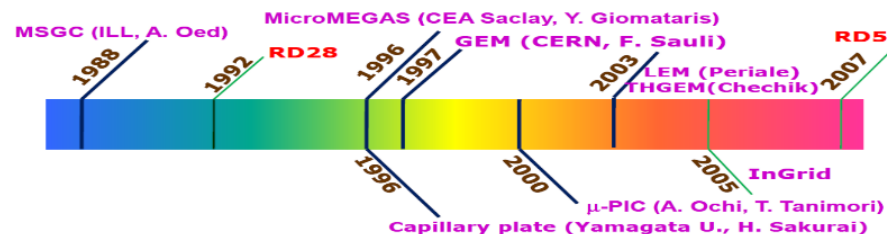
# 径迹探测 — 内部区域

## ❖ 前沿：硅径迹探测器

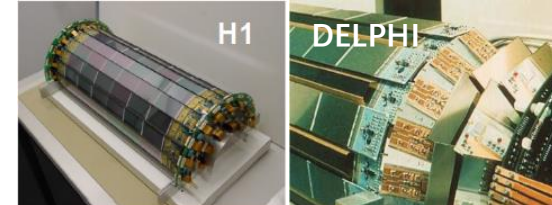
- ▶ 类型：硅像素、硅微条
- ▶ 特点：高位置分辨、高计数率能力、高造价

## ❖ 新颖：圆柱形微结构气体探测器

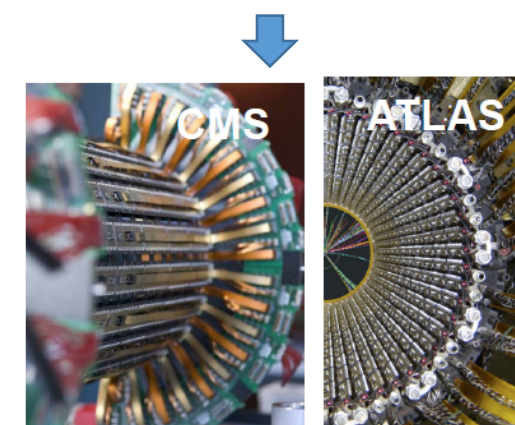
- ▶ 类型：GEM、Micromegas、uRWELL
- ▶ 特点：较好的位置分辨、高计数率能力、大面积、廉价



80年代  
~0.002 m<sup>2</sup>



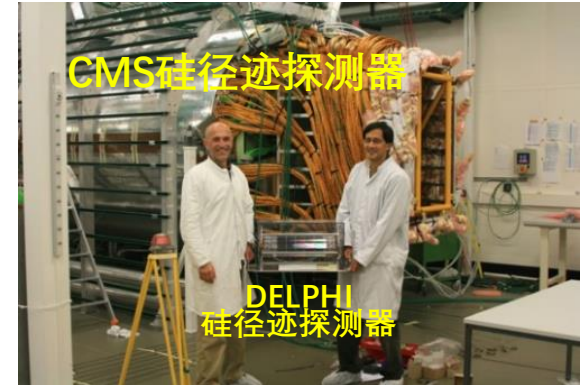
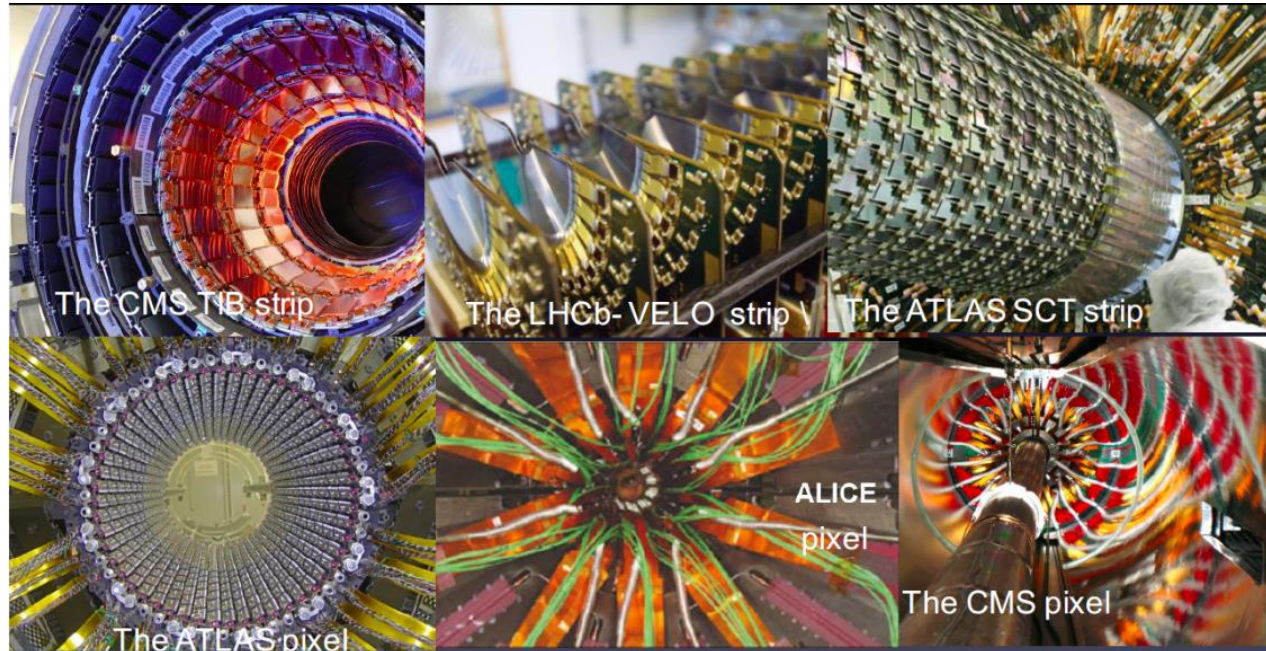
90年代  
~2 m<sup>2</sup>



10年代  
~200 m<sup>2</sup>

# LHC实验上的硅径迹探测器

- ❖ LHC实验上有当前世界上最大规模的硅径迹探测器
  - ▶ ATLAS：像素(8千万通道)+微条(0.6千万通道) ,  $62\text{m}^2$
  - ▶ CMS : 像素(6.6千万通道)+微条(1.1千万通道) ,  $201\text{m}^2$



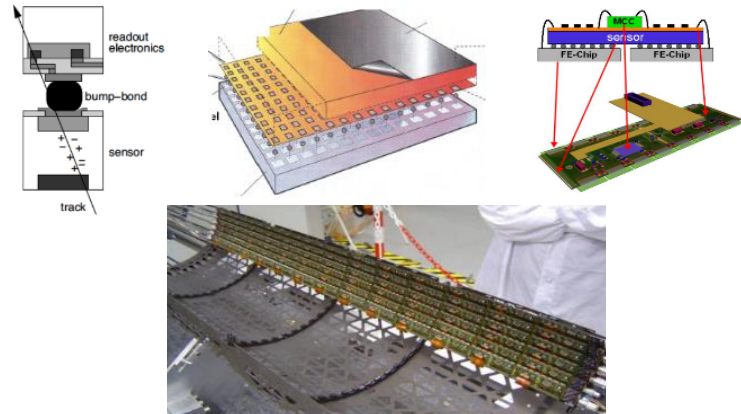
硅微条探测器已经突破内部区域，扩展到了中心区域！

硅像素探测器紧靠反应点，承受着最高的辐照本底和计数率水平，是硅径迹探测器研发的重点和前沿。

# 混合型 ( Hybrid ) 硅像素探测器

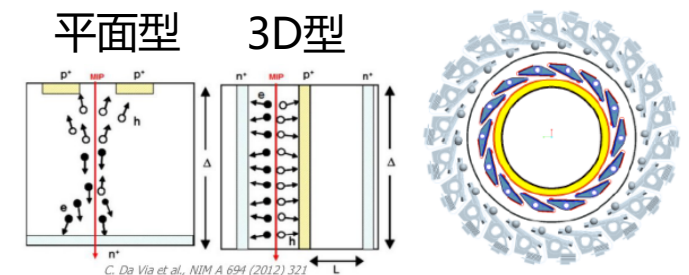
- ❖ 混合型硅像素探测器：传感器与信号处理分离，二者通过倒装焊技术连接。
- ❖ LHC上的硅像素探测器几乎都为平面混合型，代表了当前最成熟和先进的硅像素技术。

- ▶ ATLAS :  $50\mu\text{m} \times 400\mu\text{m}$ ,  $\sigma_{\text{sp}} \sim 10-20\mu\text{m}$
- ▶ CMS :  $100\mu\text{m} \times 150\mu\text{m}$ ,  $\sigma_{\text{sp}} \sim 10-20\mu\text{m}$
- ▶ n-in-n,  $1 \times 10^{15} n_{\text{eq}}/\text{cm}^2$ , 50MRad,  $\sim 3\% * X_0$
- ▶ 高效稳定运行 : 98%-99%



## ❖ 研发和小规模使用了3D混合型硅像素技术

- ▶ 更短的漂移距离，更小的俘获效应，较低的偏置电压和功耗
- ▶ 生产过程复杂，良品率低，成本高，电容较大，噪声较高
- ▶ 3D型是目前最抗辐照的硅像素技术
- ▶ ATLAS-IBL (2014年安装) 1/4采用了3D技术



# HL-LHC硅径迹探测器升级



❖ ATLAS和CMS正在建造全新和全硅的径迹探测器

❖ 最大的挑战在内部区域 — 像素

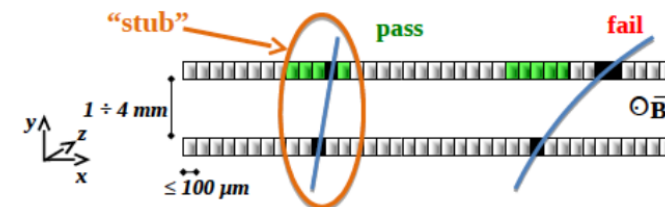
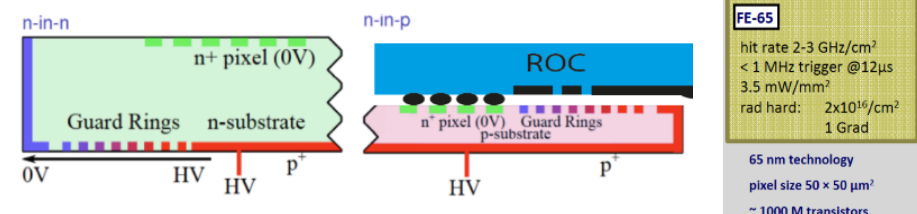
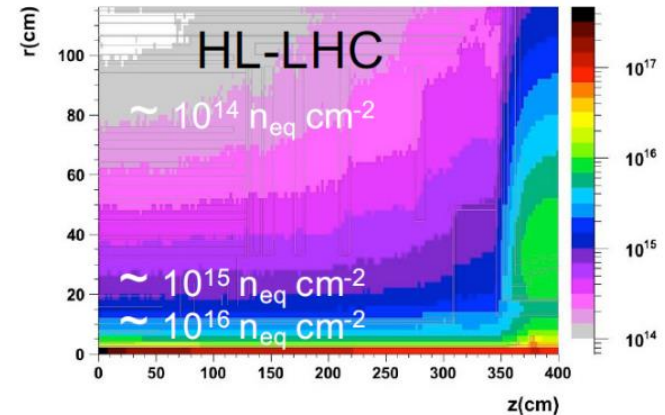
►  $1\text{GHz}/\text{cm}^2, 10^{16}\text{n}_{\text{eq}}/\text{cm}^2$ , TID>1Grad

❖ 像素升级

► 最内层：3D型， $50\mu\text{m} \times 50\mu\text{m}$   
► 其他层：薄n-in-p平面型， $50\mu\text{m} \times 50\mu\text{m}$   
► 65nm工艺读出芯片

❖ 微条升级

► n-in-p平面型传感器  
► Pt模块(CMS)：实现L1触发



# 单片有源硅像素 (MAPS) 探测器

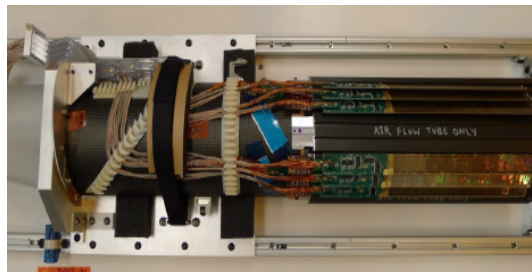
## ❖ 单片有源：把传感器与读出芯片合二为一

- ▶ 无需凸点焊接，高性价比  
高质量，小像素，低功耗
- ▶ 读出速度和抗辐照性能有待提高

## ❖ 多种单片有源硅像素技术

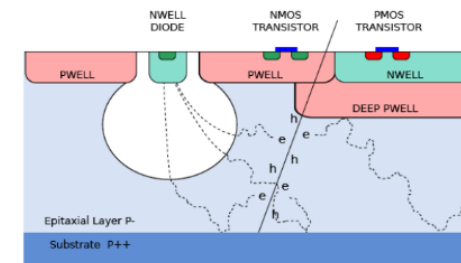
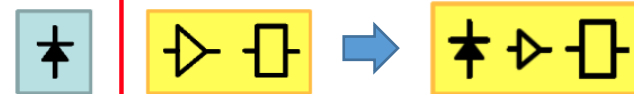
- ▶ CMOS-MAPS: STAR, ALICE
- ▶ DEPFET: BELLE2
- ▶ DMAPS (HR/HV-CMOS), SOI

HFT@STAR

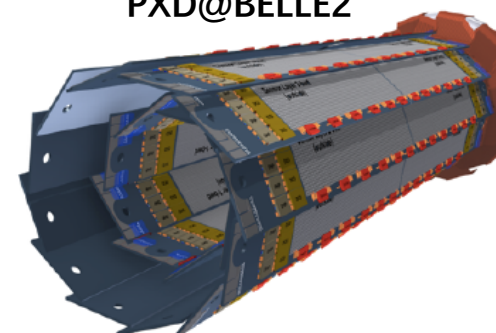


- 350 nm CMOS
- $< 30 \mu\text{m}$  pixels
- $0.37\% X_0$
- $50 \mu\text{m}$  thick
- frame time  $< 200 \mu\text{s}$

混合型                    单一型



PXD@BELLE2



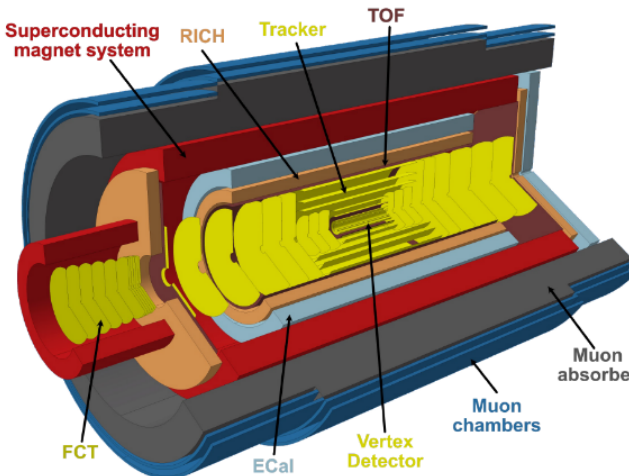
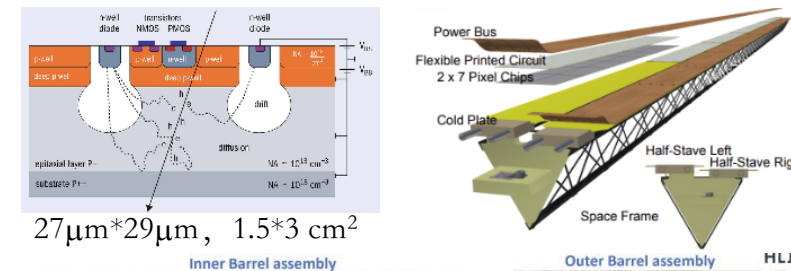
Number of pixels per module	$250 \times 1536$
Pixel size (r-phi, z)	$50\mu\text{m} \times (60\text{-}75) \mu\text{m}$
Frame time	$20 \mu\text{s}$
Material budget per layer	$0.15\% X_0$
Resolution (r-phi, z)	$< 10\mu\text{m}, < 20\mu\text{m}$
Occupancy at 1.8 cm radius	$0.2 \text{ hits } \mu\text{m}^{-2}\text{s}^{-1}$
Radiation environment	$\sim 1 \text{ Mrad/year}$

# ALICE ITS 升级 ( MAPS )

❖ ITS2全部采用MAPS技术，最大的硅像素探测器！

- **10m<sup>2</sup>, 1.25\*10<sup>10</sup>通道**
- 顶点和径迹重建性能大幅提升

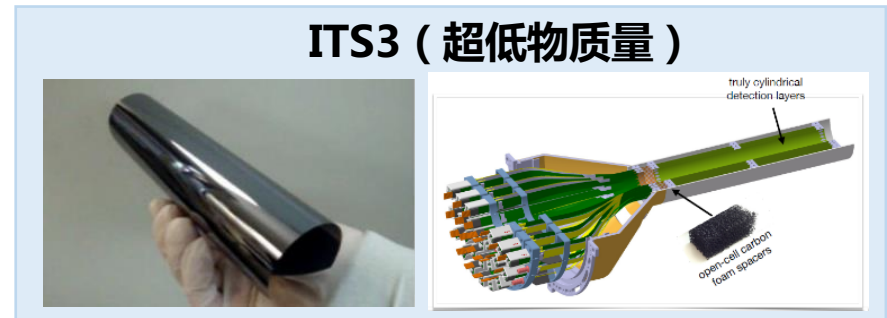
位置分辨5um , 读出时间<10us , 50mW/cm<sup>2</sup>  
TID: ~ 270 krad , NIEL: ~ 1.7x10<sup>13</sup> neq



**ALICE3升级：整个径迹探测器将采用MAPS像素技术**

**硅像素探测器也将突破内部区域，进入中心区域！**

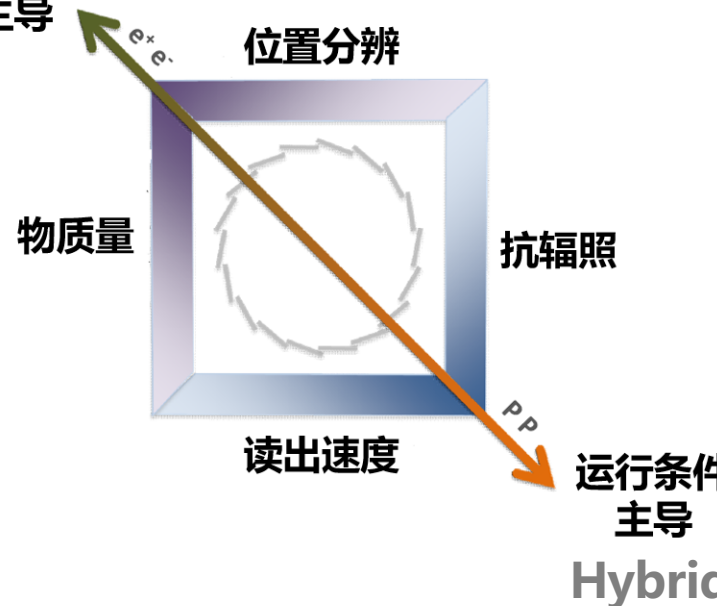
**ITS3 (超低物质量)**



# 硅像素探测器的发展

**MAPS**

物理性能  
主导



➤ **混合型：探索新型的集成技术 → 更小的像素尺寸**

➤ **单片型：很大的提升空间 → 超大芯片、自支撑（拼接），提高速度和抗辐照性能（耗尽型）**

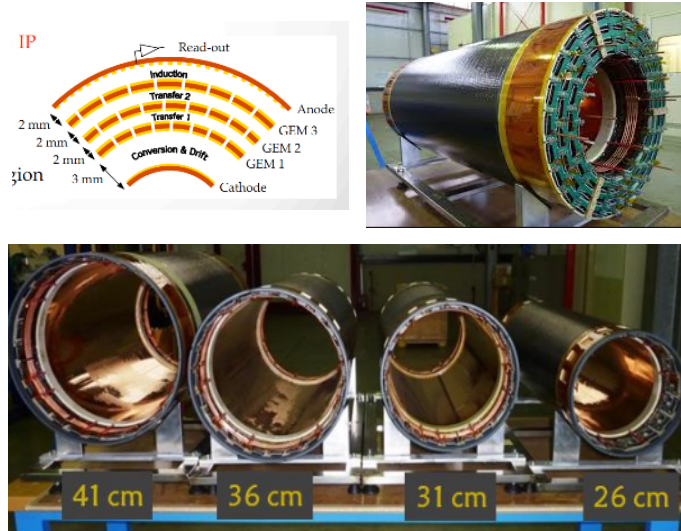
	束团间隔	计数率	辐照强度	总电离剂量
	ns	kHz/mm <sup>2</sup>	N <sub>eq</sub> /cm <sup>2</sup>	Mrad
LHC	25	1000	2*10 <sup>15</sup>	80
HL-LHC	25	10000	2*10 <sup>16</sup>	>1000
LHC-HI (ALICE)	20	10	>10 <sup>13</sup>	0.7
RHIC	110	4	~10 <sup>12</sup>	0.2
SKEKB	2	400	3*10 <sup>12</sup>	10
ILC	350	250	10 <sup>12</sup>	0.4

- **LHC : 抗辐照、快读出 → 平面混合型**
- **HL-LHC : 更强的抗辐照和更快的读出 → 薄n-in-p平面混合型,更小的像素，更多的本地缓存，新型传感器 (3D ... )**
- **其他实验 : 低物质量、更高分辨 → MAPS**

# 圆柱形微结构气体探测器



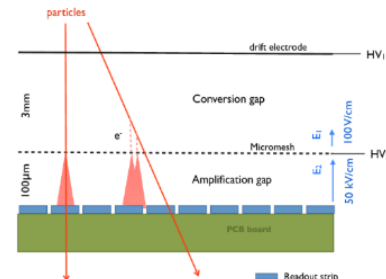
## KLOE2 内部径迹探测器：圆柱形GEM径迹室



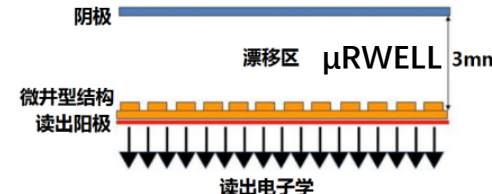
UV二维读出条



## CLAS12 内部径迹探测器：圆柱形Micromegas径迹室

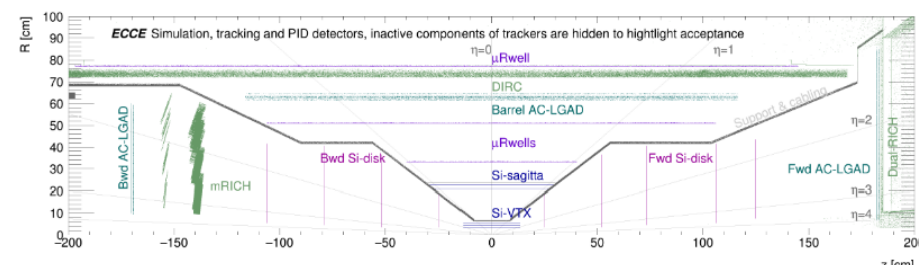


$$\sigma_x < \sim 100\mu\text{m}$$

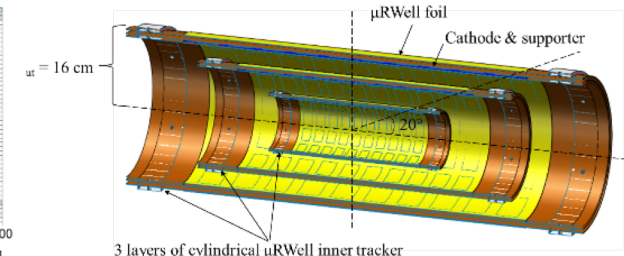


## 圆柱形uRWELL径迹室

### EIC-ECCE



### STCF



# 径迹探测 — 中心区域

## ❖ 气体径迹室是中心区域径迹探测的传统技术选项：漂移室、时间投影室

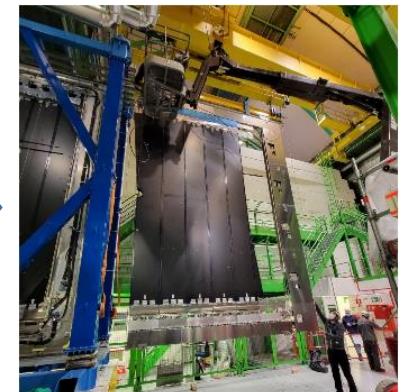
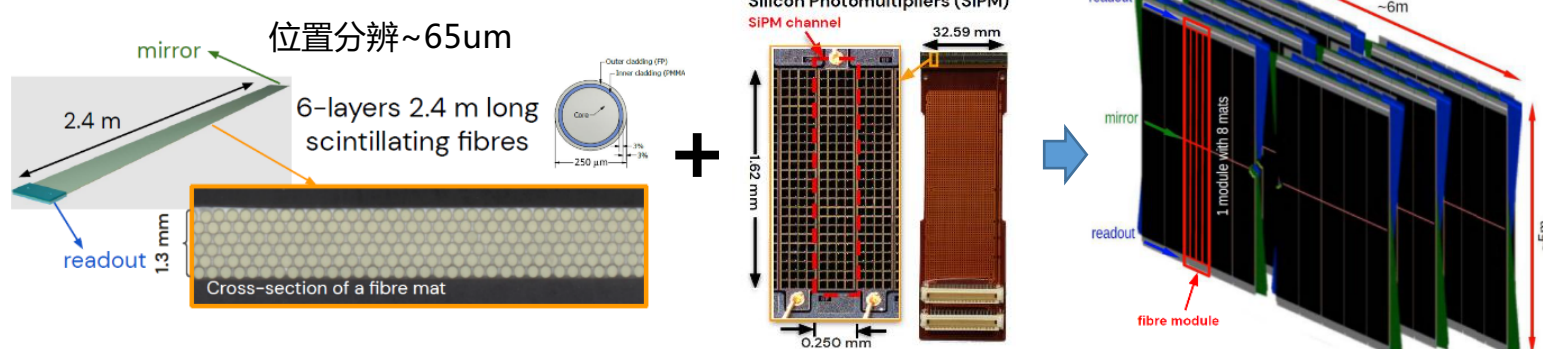
- ▶ 特点：低质量、大体积、廉价
- ▶ 应用：低能区（例如 BES、BELLE），不太高的计数率环境（例如 ILD、IDEA、CEPC）

## ❖ 随着硅径迹探测器技术的迅速发展，硅微条已进入中心区域，硅像素也将进入。

- ▶ ATLAS、CMS、ALICE

## ❖ 闪烁光纤径迹探测器也已发展起来，并开始大规模应用

- ▶ LHCb SciFi探测器升级





## ❖ 漂移室、时间投影室等气体径迹室在计数率较低的场合仍能发挥重要作用

- ▶ 低质量( $<1\%X_0$ )、大体积(几~几十 $m^3$ )、较好的位置分辨( $\sim100\mu m$ )、多次测量  
(几十~上百个位置测量点)

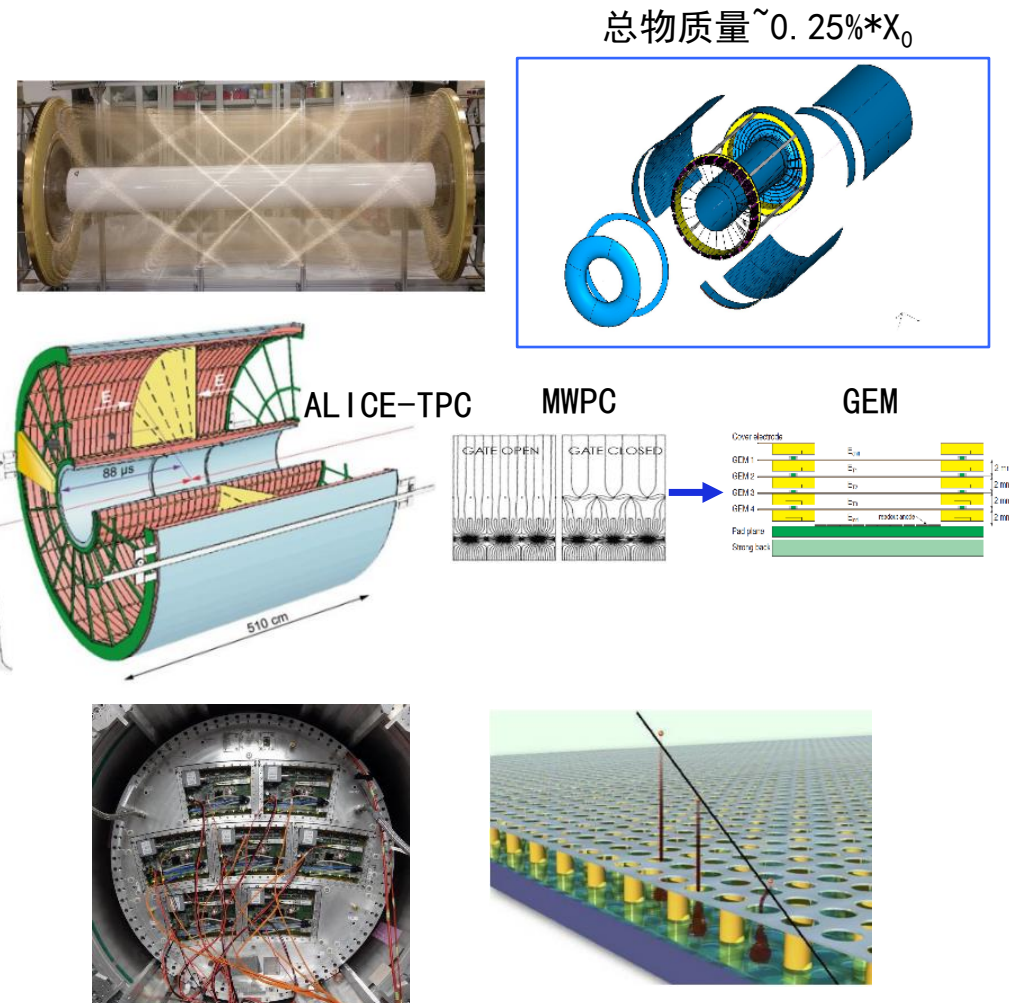
## ❖ 硅探测器（内部区域）+ 气体径迹室（中心区域）是径迹探测中的常用组合： 优势互补

- ▶ BELLE2：PXD(硅像素)+SVD(硅微条)+CDC(中心漂移室)
- ▶ ALICE：ITS(内部硅径迹探测系统)+TPC
- ▶ ILD、IDEA、CEPC：VTX(硅像素)+SIT(硅微条)+TPC/DC

## ❖ 对于低能区实验，低质量的气体径迹室目前仍是唯一技术选项

- ▶ BES3、BELLE2 ...

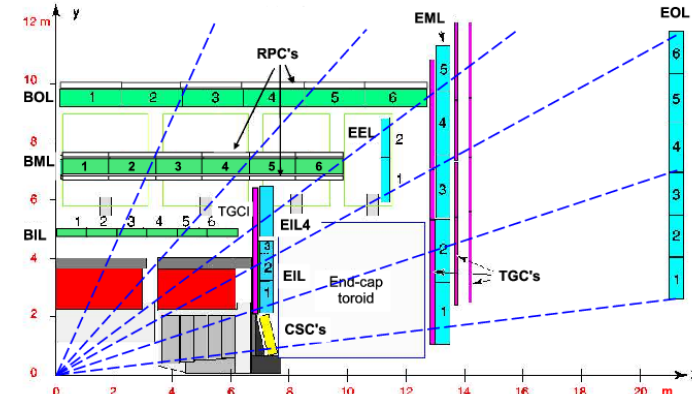
- ❖ 极低物质量漂移室的设计和研发
  - ▶ MEG-II、SCTF、STCF、IDEA
- ❖ BELLE2大型漂移室的成功建造和运行
- ❖ ALICE-TPC（目前世界最大TPC）的读出探测器升级
  - ▶ MWPC→GEM，无开关门，连续读出
- ❖ 超大TPC（ILC-TPC、CEPC-TPC）的设计和研发
  - ▶ GEM，MM，MM+GEM，像素读出



# 径迹探测 — 外部区域

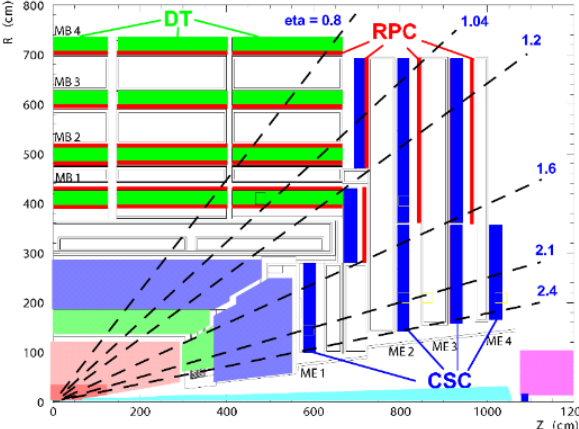
◆ 外部区域的探测对象主要是缪子 — 缪子探测器，其特点是探测面积极大，因此气体探测器仍然处于主导地位。

ATLAS缪子谱仪



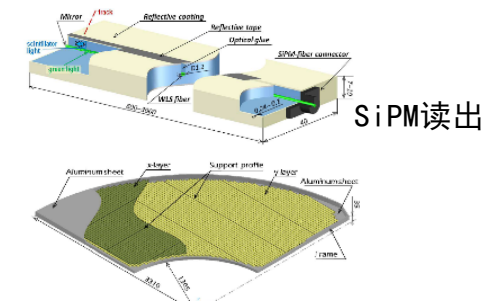
MDT：监控漂移管  
 CSC：阴极条室  
 TGC：窄间隙室  
 RPC：阻性板室

CMS缪子谱仪

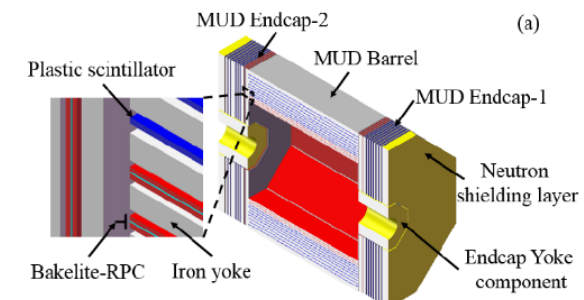


DT：漂移管  
 CSC：阴极条室  
 RPC：阻性板室

BELLE2 KLM探测器：塑闪条



STCF缪子探测器：RPC+塑闪条

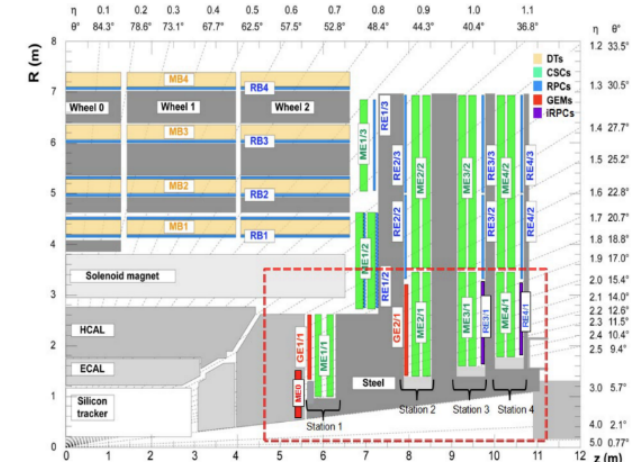


全部是气体探测器，并且除RPC外，全部都是丝室！

# ATLAS/CMS缪子探测器升级

## ❖ Phase1

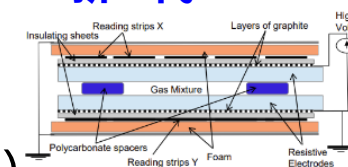
- ATLAS : 更换MDT/TGC/CSC → **MicroMegas**/sTGC
  - 增强端盖Muon触发能力
- CMS : 安装**GEM**(GE1/1)
  - 增强端盖Muon触发能力



## ❖ Phase2

- ATLAS : 安装窄气隙**RPC**+sMDT(BI)
  - 增强桶部Muon触发能力
- CMS : 安装**GEM**(GE2/1, ME0), RPC(RE3/1,RE4/1)
  - 增强Muon触发冗余性和Muon探测器接受度

**新一代RPC**



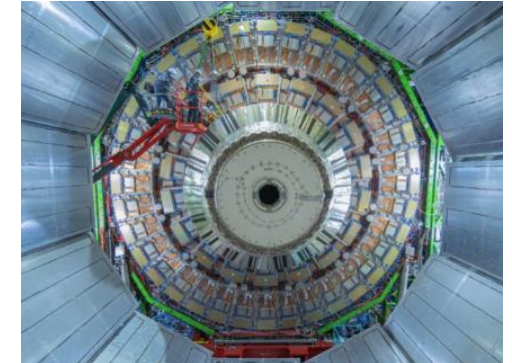
	Atlas Standard RPC	BIS78 RPC
<b>Detector</b>		
Gas Gap width	2 mm	1 mm
Electrode Thickness	1.8 mm	1.2 mm
Gas Mixture	95% TFE, 4.7% i-C <sub>4</sub> H <sub>10</sub> , 0.3% SF <sub>6</sub>	95% TFE, 4.7% i-C <sub>4</sub> H <sub>10</sub> , 0.3% SF <sub>6</sub>
Time Resolution	1 ns	-0.4 ns
Space Resolution	6 mm	1 mm
Gaps per chamber	2	3
Readout electronics	2D orthogonal	2D orthogonal

随着对撞机亮度升级，计数率和本底水平不断升高，**微结构气体探测器**开始进入了端盖和前向的缪子探测中。

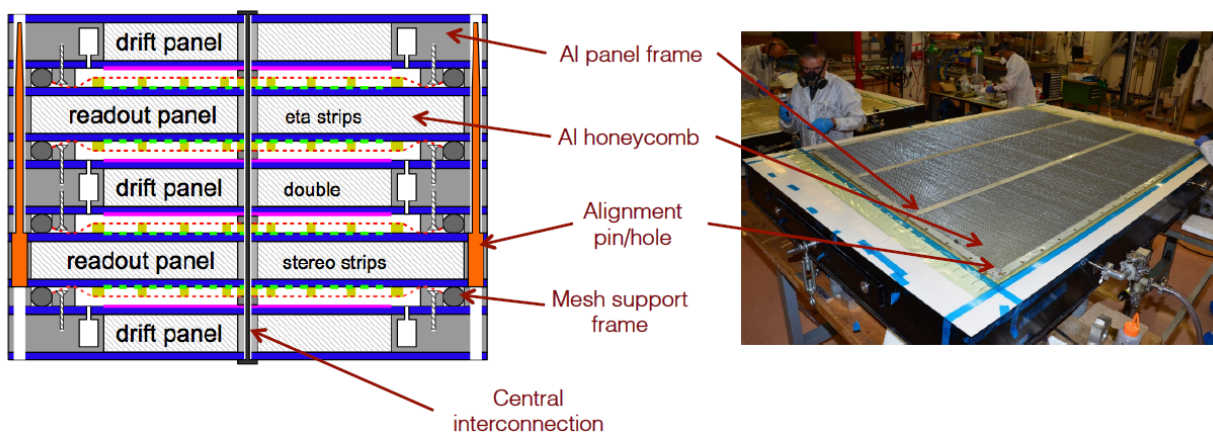
# 大面积微结构气体探测器



## CMS GE1/1 GEM



## ATLAS NSW MicroMegas



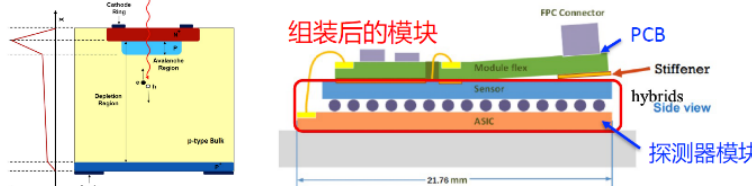
## ❖ 传统技术：塑闪+PMT、多气隙阻性板室（MRPC）

- BELLE、BES、ALICE、STAR、CBM

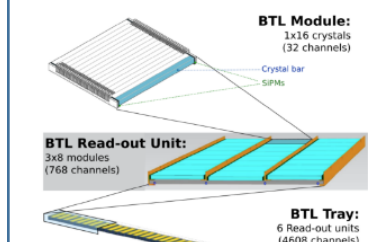
## ❖ 技术前沿与挑战：高计数率、高颗粒度、高时间分辨

- CBM: 低阻玻璃MRPC
- PANDA: 塑闪+SiPM
- CMS: LYSO+SiPM
- CMS、ATLAS: LGAD

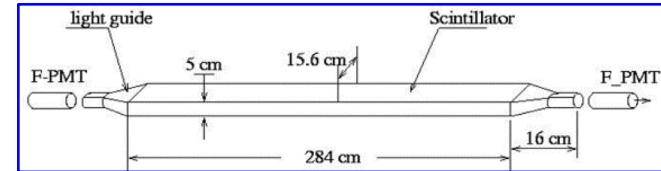
**LGAD** :  $1.3 \times 1.3 \text{ mm}^2$ , ~30ps  
 $8.3 \times 10^{15} \text{ n}_{\text{eq}}/\text{cm}^2$  and 7.5MGy



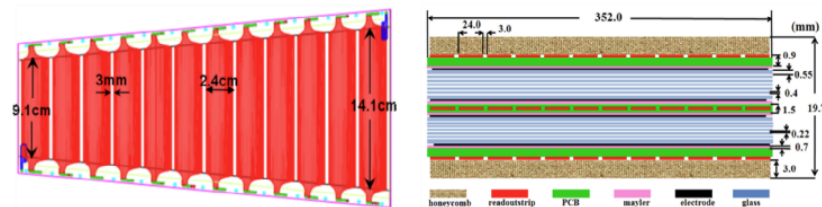
**LYSO+SiPM**  
 $3 \times 3 \times 57 \text{ mm}^3$ , ~30ps



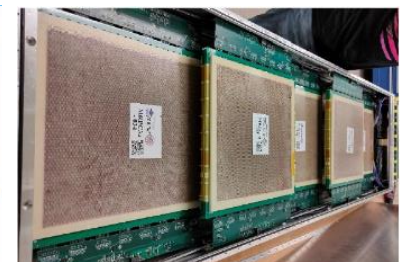
**BESIII-塑闪** : 100 ps(单), 80 ps(双)



**BESIII-玻璃MRPC** : 60 ps



**CBM-低阻玻璃MRPC** : 80 ps @50kHz/cm<sup>2</sup>



# 能量测量 — 量能器



## ❖ 量能器是最“多才多艺”的探测器

- ▶ 带电粒子，中性粒子
- ▶ 能量、位置、角度、时间

## ❖ LHC实验上具有丰富类型的量能器

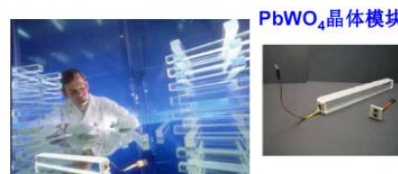
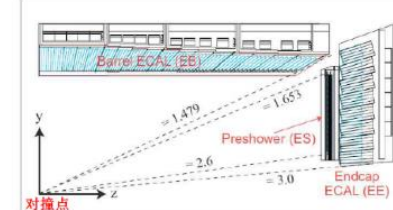
- ▶ ATLAS：铅+液氩，铁+塑闪+PMT
- ▶ CMS：PbWO<sub>4</sub>晶体+APD，铜+塑闪+PMT
- ▶ LHCb：吸收体+塑闪，Shashlik
- ▶ ALICE：吸收体+塑闪，Shashlik

## ❖ 高精度晶体量能器 $\sigma_E/E \sim 2\%/\sqrt{E(GeV)}$

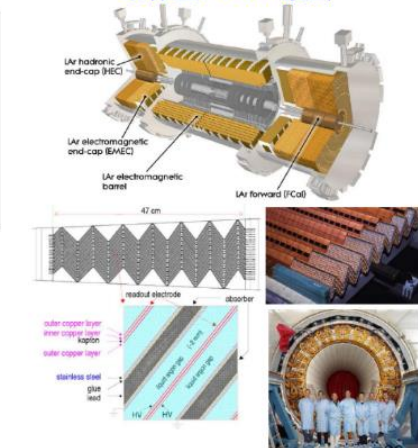
- ▶ BELLE、BESIII：CsI晶体+PD
- ▶ SCTF、STCF：pCsI晶体+APD

晶体量能器是很多高精度实验的技术选项，晶体是其关键部件：光产额、发光时间、抗辐照 ...

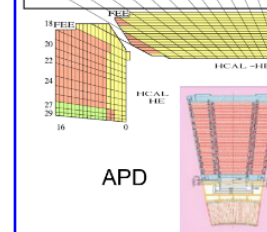
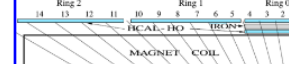
CMS实验上的电磁量能器  
全吸收型，PbWO<sub>4</sub>晶体阵列



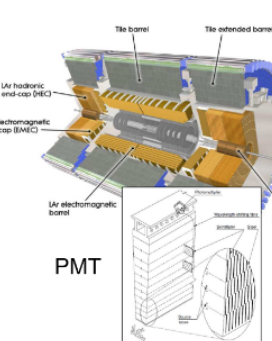
ATLAS实验上的电磁量能器  
取样型，Pb + 液氩



CMS-HCAL  
取样型，铜+塑料闪烁体 (7λ)



ATLAS-HCAL-Barrel  
取样型，铁+塑料闪烁体 (10λ)

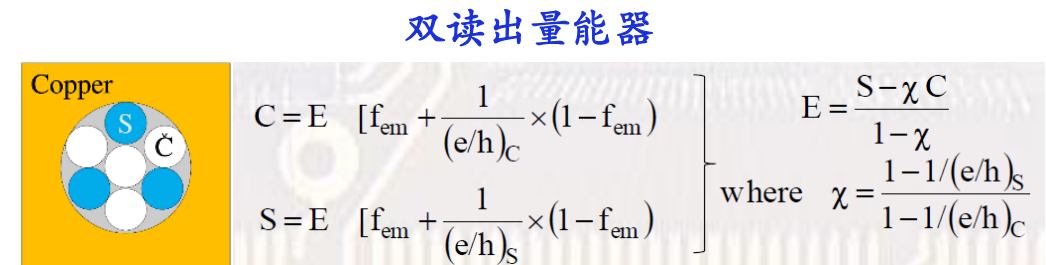
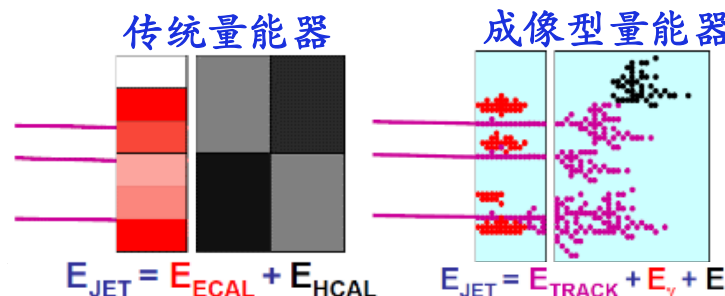


ECAL和部分HCAL在线圈内部

ECAL和HCAL都在线圈外

# 量能器前沿 — 强子喷注能量测量

- ❖ 在强子衰变末态中分辨W与Z玻色子 → 强子喷注能量分辨率提高1倍
- ❖ 关键：如何克服强子簇射巨大涨落的影响？  $\sigma_E/E \sim 60\%/\sqrt{E(GeV)} \rightarrow 30\%/\sqrt{E(GeV)}$
- ❖ 两种途径
  - ▶ 粒子流算法 → 成像型量能器（极高颗粒度）
  - ▶ 改善单个强子能量分辨 → 双读出量能器（契伦科夫光+闪烁光）



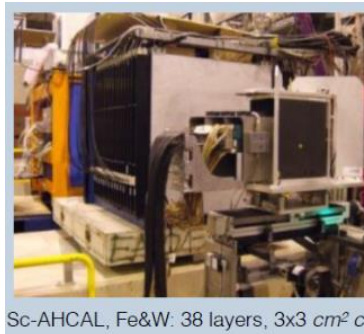
重建并分辨出单粒子簇射，与径迹进行匹配，量能器中带电强子的能量沉积用径迹探测器的测量结果取代。

在每个簇射事例中测量电磁贡献所占比例

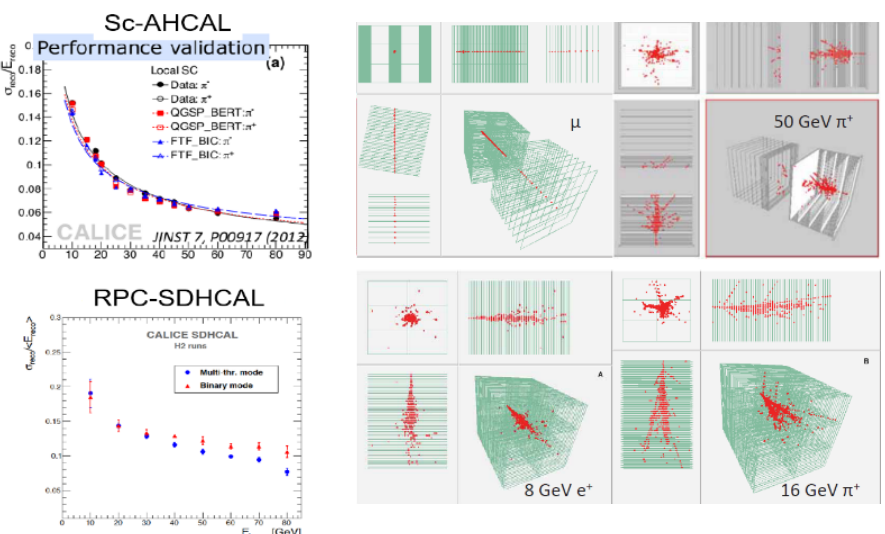
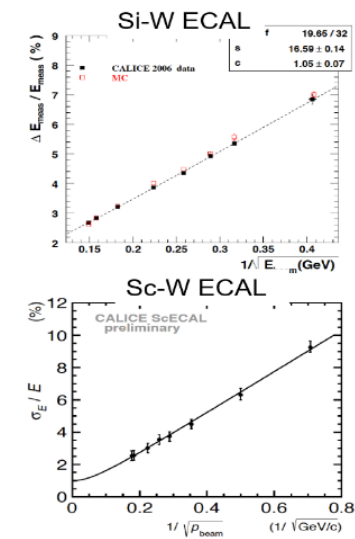
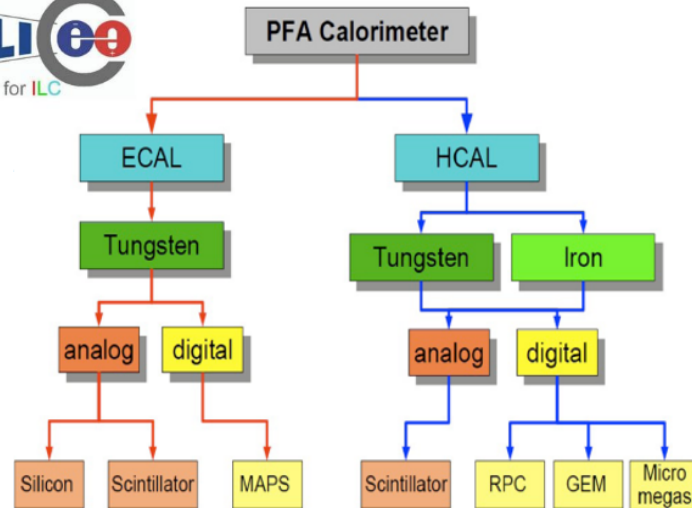
# 成像型量能器

- 针对各种技术方案，建造了多个物理样机，通过束流测试完成了原理验证。
- 由物理样机转向技术样机，解决工程建造问题。

ECAL



HCAL



# 成像型量能器的应用 — CMS端盖量能器升级

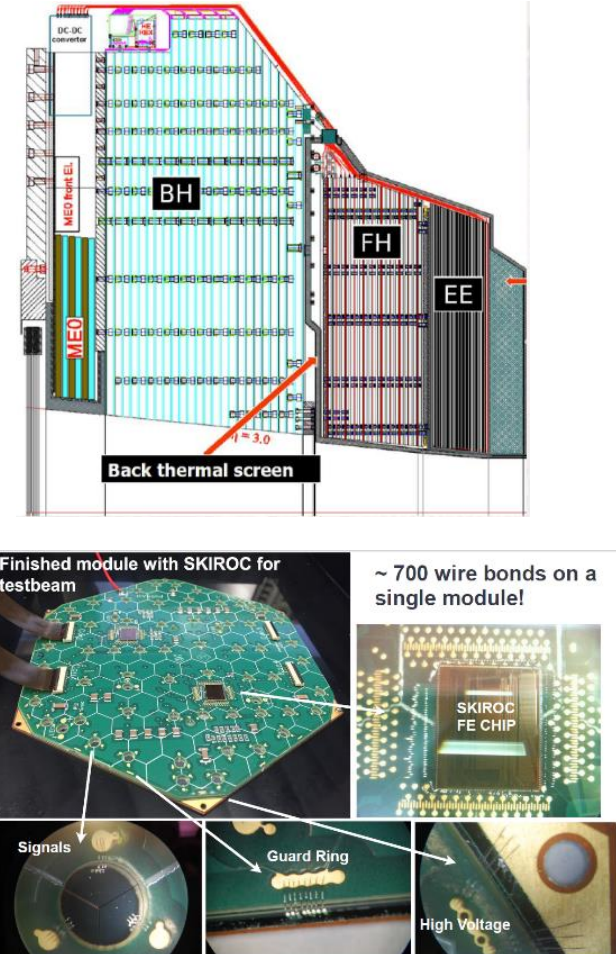


## ❖ CMS端盖量能器升级-HGCAL

- ▶ FE : Si+W, 28层 ,  $25 \times 0 + 1.3\lambda$
- ▶ FH : Si+Fe, 12层 ,  $3.5\lambda$
- ▶ BH : Sc+Fe, 11层 ,  $5.5\lambda$

## ❖ 关键参数

- ▶ 593m<sup>2</sup> Si , 单元颗粒度0.5-1cm<sup>2</sup> ,  $\sigma_t \sim 50\text{ps}$
- ▶ 6百万通道 , 21660个模块 , 92000个FE-ASIC
- ▶ 功耗115kW
- 成像型量能器不仅能显著提高喷注能量分辨 ,  
也能有效去除堆积效应。
- CMS-HGCAL将是第一个应用于实验中的大  
型成像型量能器。



# 双读出量能器

## ❖ DREAM: Dual READout Method–CERN RD52项目

► 同时测量闪烁光（非相对论电磁成分+强子成分）和契伦科夫光（相对论电磁成分）

**DREAM原型**

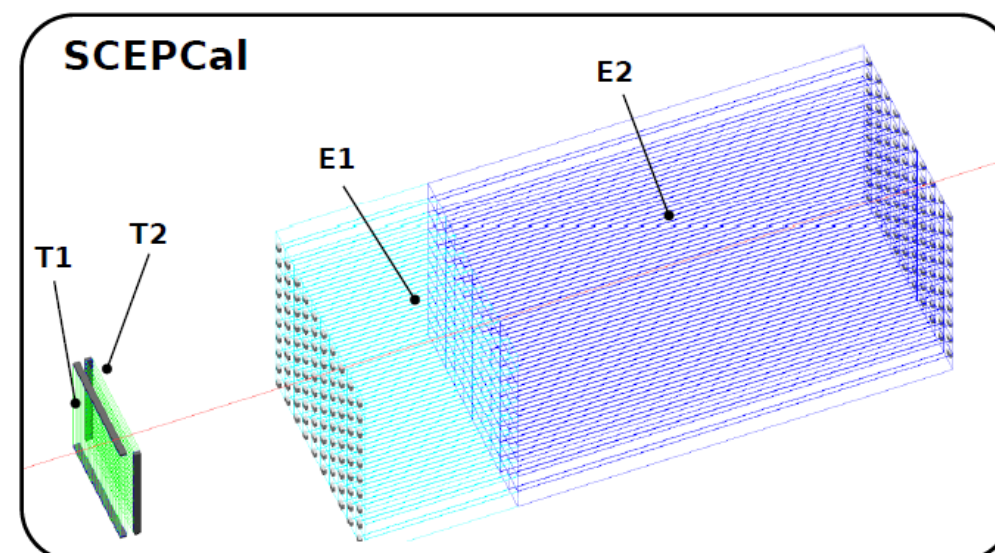
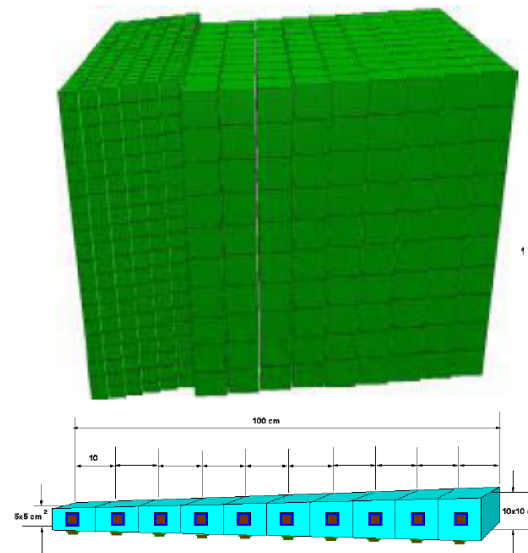
**FCC、CEPC**

Total size: 10x10x100 cm<sup>3</sup>  
Scalable design  
9 modules  
16 x 2 fibers

**Test beam**

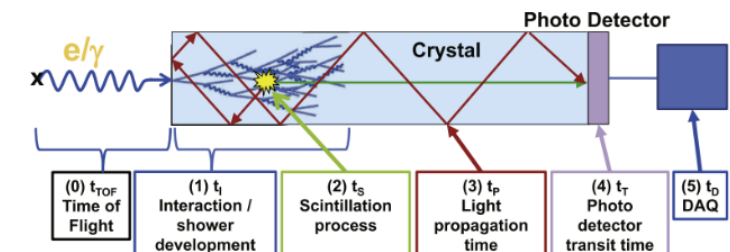
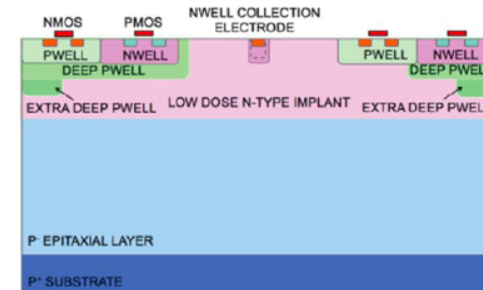
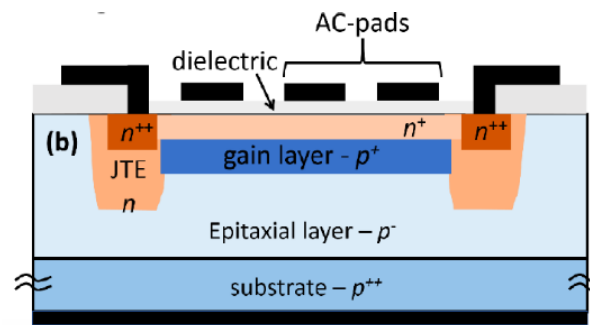
# 全吸收双读出？

- ❖ 全吸收强子量能器，采用双读出改善强子能量分辨。
- ❖ 通过方向、波长或信号时间特征区分闪烁光和契伦科夫光。
- ❖ 找到合适的晶体和读出方法是关键！



# 重要发展趋势：集多种测量功能于一体

- ❖ 位置+时间：四维径迹探测器（4D tracker :  $\sigma_x \sim < 10\mu m + \sigma_t \sim < 100 ps$ ）
- ▶ AC-LGAD, 3D hybrid, DMAPS ...
- ❖ 能量+时间：定时量能器
- ❖ 位置+能量+时间：五维量能器（定时PFA量能器）



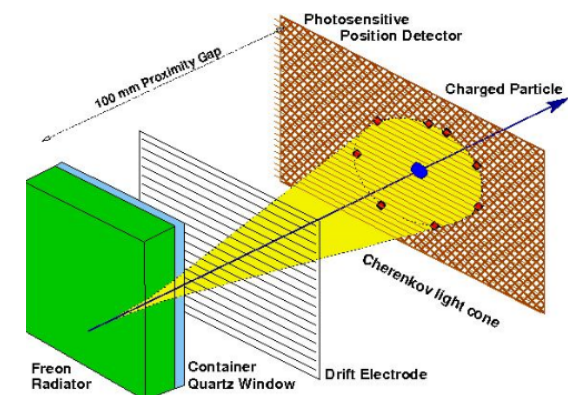
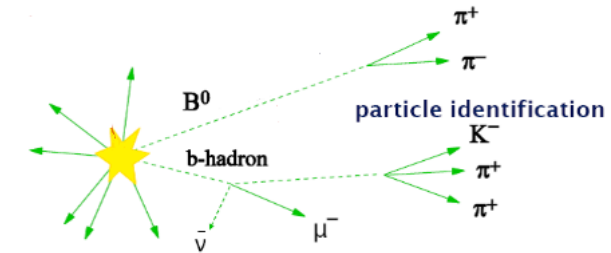
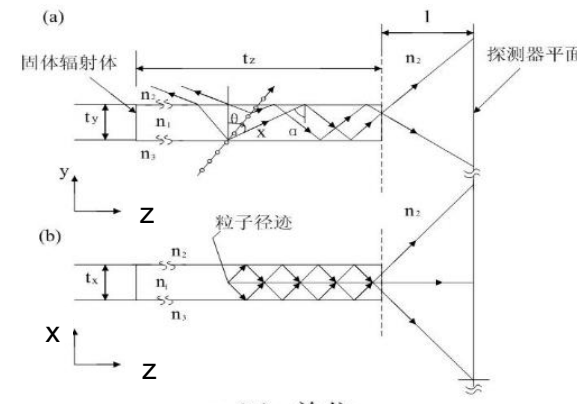
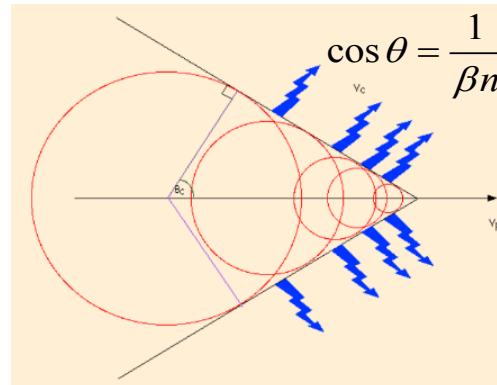
# 粒子鉴别 — 契伦科夫探测器



❖ 粒子（强子）鉴别在很多物理实验中发挥着关键作用

❖ 主要技术路线

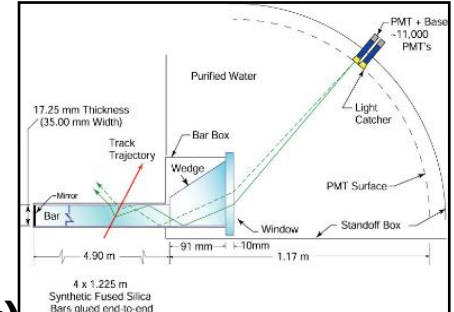
- ▶ 飞行时间法：时间测量已涵盖
- ▶ 内反射契伦科夫探测器：DIRC (detection of internally reflected Cherenkov light)
- ▶ 环形成像契伦科夫探测器：RICH ( Ring imaging Cherenkov)



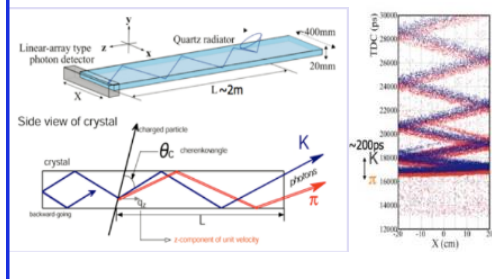
# DIRC探测器



- ❖ BaBar-DIRC：首个DIRC探测器，主要测量位置/角度，时间精度要求不高。
- ❖ 结合位置+精确时间测量，DIRC类探测器在粒子鉴别中有很大应用潜力。
- ❖ 光探测通常采用多阳极MCP-PMT：单光子灵敏、高时间分辨、抗磁性好、可以有很好的位置分辨。
- ❖ 石英是目前唯一可行的辐射体：适用于动量不是很高的情况（例如几个GeV/c）

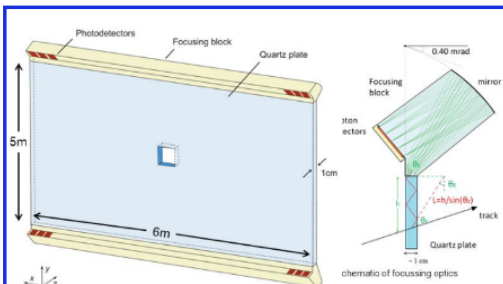


Belle2-TOP (完成建造)



- 位置+时间(传播时间为)主
- 多阳极MCP-PMT
- 波形采样ASIC
- 单光子<100ps

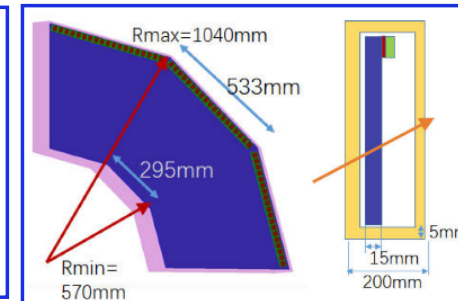
LHCb-TORCH (研发中)



- 位置+时间(飞行时间为主)
- 多阳极MCP-PMT
- NINO+HPTDC
- $\sigma_{TOF}=10-15\text{ps}/\text{track}$
- PMT读出颗粒度~0.4mm

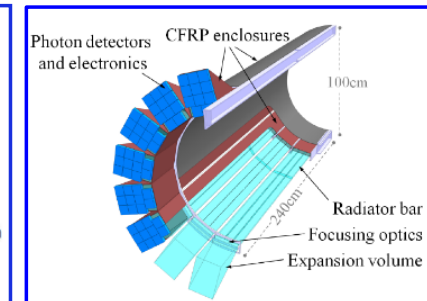
本质上是一个飞行时间探测器

STCF-DT0F (研发中)



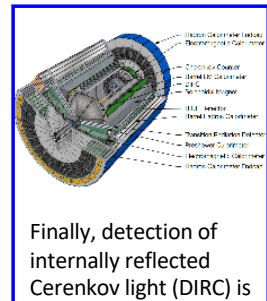
- 位置+时间
- 多阳极MCP-PMT
- 前放+TDC
- $\sigma_{TOF}= 30\text{ps}/\text{track}$

PANDA-DIRC (研发中)



- 位置+时间
- 具有较大的光学扩展区
- 多阳极MCP-PMT
- 成像为主

EIC实验



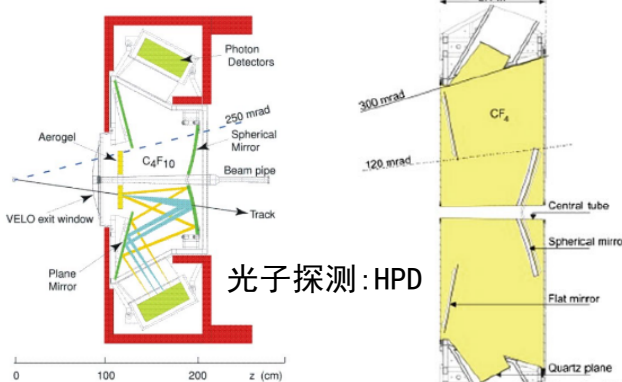
Finally, detection of internally reflected Cerenkov light (DIRC) is under consideration for a high performance DIRC (hpDIRC), and would outperform the DIRC at BaBar and PANDA

# RICH探测器



- ❖ 最早应用在大型实验中的RICH : CRID@SLD, RICH@DELPHI
- ❖ 大动量范围/高动量粒子鉴别的主要技术选项可以高达 ( 100GeV/c ) 。

LHCb-RICH1, RICH2



RICH1: Aerogel L=5cm  $p: 2 \rightarrow 10 \text{ GeV}/c$   
 $n = 1.03$  (nominal at 540 nm)  
 $C_4F_{10}$  L=85 cm  $p: < 70 \text{ GeV}/c$   
 $n=1.0014$  (nominal at 400 nm)

Upstream of LHCb Magnet  
Acceptance: 25→250 mrad (vertical)  
300 mrad (horizontal)  
Gas vessel: 2 X 3 X 1  $\text{m}^3$

RICH1: 10-65GeV

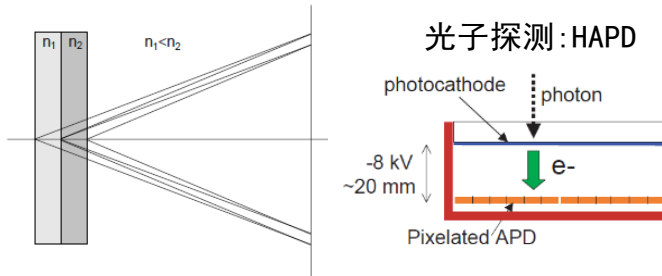
RICH2:  $C_4F_4$  L=196 cm  $p: < 100 \text{ GeV}/c$   
 $n = 1.0005$  (nominal at 400 nm)

Downstream of LHCb Magnet  
Acceptance: 15→100 mrad (vertical)  
120 mrad (horizontal)  
Gas vessel: 100  $\text{m}^3$

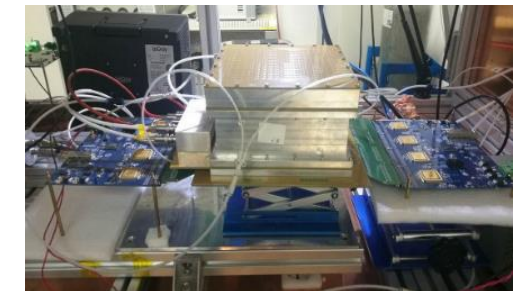
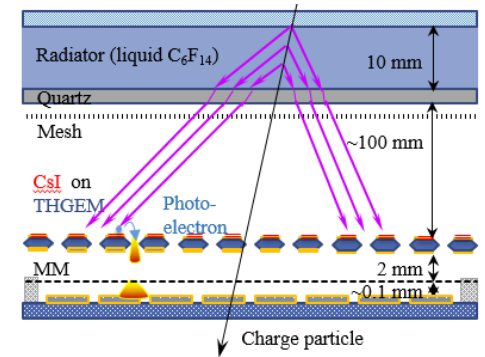
RICH2: 15-100GeV

- double aerogel,  $n_0 = 1.050, 1.065$
- $d = 19.8, 19.9 \text{ mm}$
- $\theta_c = 336 \text{ mrad}$
- $\sigma_\theta = 15.8 \text{ mrad}$
- $N_{\text{det}} = 11.4$
- $> 5\sigma \pi/K \text{ 分辨} \sim 4 \text{ GeV}$

Belle2-ARICH



STCF-RICH





## ❖ 硅像素技术（包括读出以及二者的集成）

- ▶ 混合型、单片型、高精度定时

## ❖ 大面积微结构气体探测器（MPGD）技术

## ❖ 新型量能器技术

- ▶ 快速高分辨晶体量能器、强子能量精确测量、高精度定时

## ❖ 高计数率高精度快速定时技术(<30ps)

- ▶ 半导体、闪烁体、气体

## ❖ 快响位敏单光子探测技术

- ▶ 真空（MCP）、固体（SiPM）、气体（MPGD）



## ❖ 位置测量

- ▶ 硅像素是重点，单片有源型开启了新时代，即将进入中心区域。

## ❖ 时间测量

- ▶ 高计数率高颗粒度下的快速定时是前沿

## ❖ 能量测量

- ▶ 晶体十分重要，高颗粒度和双读出是前沿。

**探测器源于物理实验，其发展从根本上由实验需求指引。**

## ❖ 粒子鉴别

- ▶ 契伦科夫是核心，高时间分辨的DIRC技术是个热点。

## ❖ 缪子探测

- ▶ 传统气体探测器依然主导，微结构气体探测器开始进入。